

# ΚΒΑΝΤΙΚΗ ΟΠΤΙΚΗ και LASERS

4 κεφάλαια (συνήθως) 1 κεφάλαιο

## ΚΕΦ.1 Εισαγωγή στη κβαντική φύση του φωτός

\* μέλαν σώμα και συναφείς έννοιες

↑ συχνότητα ↓ θερμοκρασία

$$* \rho(\nu, T) d\nu \quad \left[ \rho(\nu, T) \right] = \frac{J}{m^3 \cdot Hz} \quad \left[ \rho(\nu, T) d\nu \right] = \frac{J}{m^3}$$

↓ πυκνότητα ενέργειας ΗΜ ακτινοβολίας σε στοιχειώδη περιοχή συχνότητας, μέλανος σώματος, σε θερμοδυναμική ισορροπία

\* νόμοι Rayleigh-Jeans, Wien, Planck για την ακτινοβολία μέλανος σώματος

↓ κλασική θεωρία      ↓ ταίριασμα με πείραμα σε υψηλές συχνότητες      ↓ κβαντικός θεωρία

\* νόμος Stefan-Boltzmann

→  $\rho$  διατήρηση  $\rho(T)$  πυκνότητα ενέργειας

$$\left[ \rho(T) \right] = \frac{J}{m^3}$$

→  $\rho$  διατήρηση  $I$  ένταση ακτινοβολίας

$$\left[ I \right] = \frac{J}{m^2 \cdot s} = \frac{W}{m^2}$$

\* ξf. Maxwell, συνοριακές συνθήκες σε διεπιφάνεια, ..., πεδία σε κοιλότητες

$$* g(\nu) = \frac{dN}{d\nu} = \frac{d(\# \text{ κανονικών τρόπων ΗΜ πεδίου})}{d(\text{συχνότητα})}$$

\*  $g(\nu)$  κλασική φυσική (θεώρημα ισοκατανομής ενέργειας) → v. Rayleigh-Jeans

\*  $g(\nu)$  κ κάποιες κβαντικές σχέσεις → v. Planck

\* νόμος μετατόπισης Wien  $\lambda_0 T = \text{σταθερά}$        $\eta \frac{\nu_0}{T} = \text{σταθερά}$

\* φωτον/ηλεκτρικό φαινόμενο

**ΚΕΦ.2 Μηχανισμοί αλληλεπίδρασης**

**ΗΜ ακτινοβολίας - ΔΣ**

Εφαρμοσμένη Απορρόφηση  
(Stimulated) Absorption

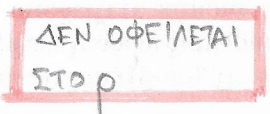


ΗΜ = ηλεκτρομαγνητικός  
ΔΣ = δισταθμικό σύστημα (two-level system)

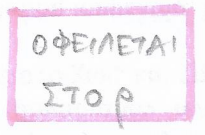
ΜΣ = μονοσταθμικό σύστημα  
ΤΣ = τρισταθμικό σύστημα  
ΠΣ = πολυσταθμικό σύστημα

ΔΣ π.χ. 2 στάθμες ενός ατόμου, μορίου, κβαντικής τελείας (quantum dot) ή άλλως νανοσωματιδίου (nanoparticle)

Αυθόρμητη Έκπομπη  
Spontaneous Emission



Εφαρμοσμένη Έκπομπη  
Stimulated Emission

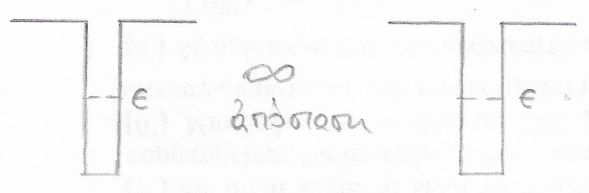


LASER = Light Amplification by Stimulated Emission of Radiation

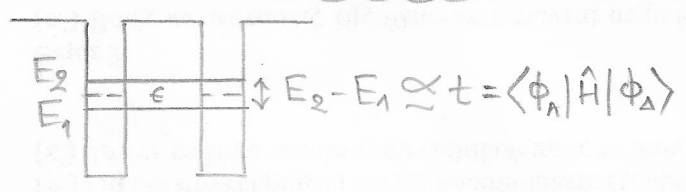
~ σε όλο το μήκος κύματος ακτινοβολεί το spin του ηλεκτρονίου ...



πώς φτιάχνουμε ΔΣ από ΜΣ ...



ΕΞΗΓΗΣΗ ΑΡΓΟΤΕΡΑ

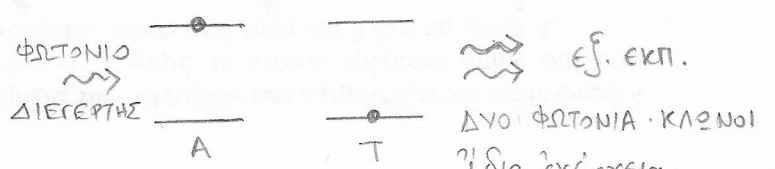
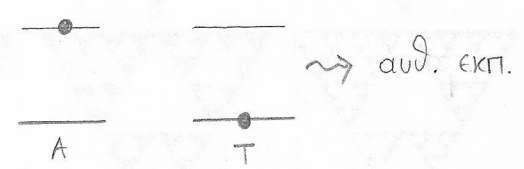
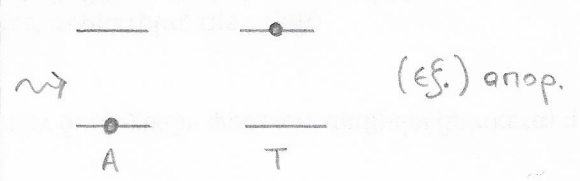


t: η αλληλεπίδραση μεταξύ των φρεάτων  
t: transfer integral  
όλοκληρώμα μεταβιβάσεως

$dW_{\text{απορ}}^{\text{ΕΦ}} = B_{12} \rho(\nu, T) dt$  Εφαρμοσμένη Απορρόφηση

$dW_{\text{εκπ}}^{\text{αυθ}} = A_{21} dt$  Αυθόρμητη Έκπομπη

$dW_{\text{εκπ}}^{\text{ΕΦ}} = B_{21} \rho(\nu, T) dt$  Εφαρμοσμένη Έκπομπη



$E_{\phi} = h\nu$   
 $P_{\phi} = \frac{E_{\phi}}{c}$

ιδιότητες που έχει το LASER  
 { ιδία ενέργεια ⇒ μονοχρωματικότητα monochromaticity  
 { ιδία όρμη ⇒ κατευθυντικότητα directionality  
 { ιδία φάση ⇒ συνοχή coherence (συμφωνία)  
 { ιδία πόλωση ⇒ πολωμένο φως polarization

ιδία ενέργεια, όρμη (κατεύθυνση), φάση, πόλωση

ΚΕΦ.3 Ημικλασική αντιμετώπιση της αλληλεπίδρασης ΗΜ ακτινοβολίας - ΔΣ

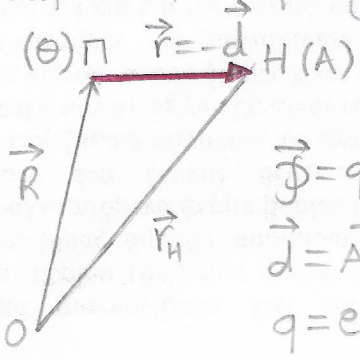
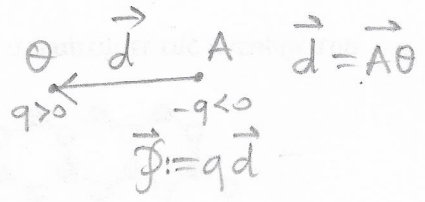
- ΗΜ πεδίο: κλασικά
- ΔΣ: κβαντικά

$$\hat{H} = \underbrace{\hat{H}_0}_{\text{χωρίς ΗΜ πεδίο}} + U_E(\vec{r}, t)$$

- \* αδιατάρακτο ΔΣ: χωρίς ΗΜ πεδίο
- διαταραχμένο ΔΣ: εντός ΗΜ πεδίου

χρονικά εξαρτημένη θεωρία διαταραχών

- \* Διπολική Ροπή. Προσέγγιση Διπόλου



$$\vec{p} = q\vec{d}$$

$$\vec{d} = A\hat{\theta}$$

$$q = e > 0$$

$$\Rightarrow \vec{p} := q\vec{d} = e(-\vec{r}) \Rightarrow \vec{p} = -e\vec{r}$$

$U_E = -\vec{p} \cdot \vec{E}$  ΔΙΑΤΑΡΑΧΗ  $U_E(\vec{r}, t)$

~ σε όλο το μάθημα αγνοούμε το spin όλα και την αλληλεπίδραση

$U_B = -\vec{\mu} \cdot \vec{B}$  βελίδα 3'

$\lambda \gg a_0$  μήκος κύματος > ακτίνα Bohr (π.χ.  $\Delta\Sigma =$  άτομο)

οπτικά μήκη κύματος

$\lambda \sim 500 \text{ nm}$       $a_0 \sim 0.529 \text{ \AA} \sim 0.5 \cdot 10^{-1} \text{ nm}$

$\frac{\lambda}{a_0} \approx \frac{500 \text{ nm}}{0.5 \cdot 10^{-1} \text{ nm}} = 10^4$

δμογενής = ...  
 ισότροπος = ...

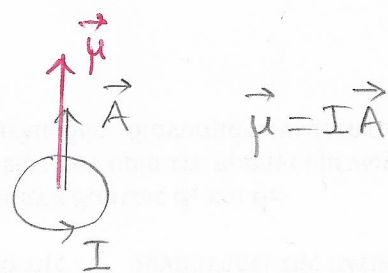
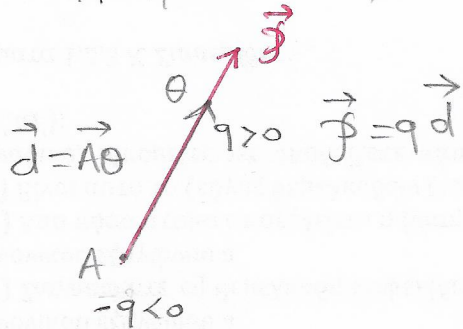
~ το ηλεκτρικό πεδίο έχει μόνο χρονική εξάρτηση...  
 άλλα είναι χωρικά δμογενείς

- \* χρονική εξέλιξη ΔΣ Συχνότητα Rabi
- \* RWA (Rotating Wave Approximation)
- \* "Επιτρεπόμενες και Απαγορευμένες" Οπτικές Μεταβάσεις εντός της Προσεγγίσεως Διπόλου
- π.χ. στο άτομο Υδρογόνου

Υπερδύοιμοι Αναλογιών

$\vec{E}$  (Ηλεκτρικό Πεδίο)

$\vec{B}$  (Μαγνητικό Πεδίο)



$\vec{p} = q\vec{d}$  ηλεκτρική διπολική ροπή

$\vec{\mu} = I\vec{A}$  μαγνητική διπολική ροπή

ή  $\vec{\mu} = \frac{q}{2m} (\vec{L} + g\vec{S})$

$U_E = -\vec{p} \cdot \vec{E}$

δυναμική ενέργεια

$U_B = -\vec{\mu} \cdot \vec{B}$

$\vec{\tau} = \vec{p} \times \vec{E}$

(μηχανική) ροπή

$\vec{\tau} = \vec{\mu} \times \vec{B}$

$[\vec{p}] = C \cdot m$

$[\vec{\mu}] = A \cdot m^2$

$[U_E] = C \cdot m \frac{V}{m} = CV = J$

$[U_B] = A \cdot m^2 \cdot T = N \cdot m = J$

$F = BIL$   
 $N = TAM$

$[\vec{\tau}] = C \cdot m \cdot \frac{N}{C} = N \cdot m$

$[\vec{\tau}] = A \cdot m^2 \cdot T = N \cdot m$

↑  
το άρρήσουμε έτσι

↑  
το άρρήσουμε έτσι

- ΗΜ πεδίο: κβαντικά
- ΔΣ: κβαντικά

φωτόνιο (μποζόνιο) καλόβολο  
ήλεκτρόνιο (φερμιόνιο) άκατάδεκτο

ΜΠΟΡΟΥΜΕ ΝΑ ΣΥΜΠΥΚΝΩΣΟΥΜΕ ΗΛΕΚΤΡΟΝΙΑ;

- \* Χαμιλτονιανή ΗΜ πεδίου με τελεστές καταστροφής και δημιουργίας φωτονίων (μποζονίων)  
 $\hat{H}_{ΗΜ,μ}$
- \* Χαμιλτονιανή ΔΣ με σπίνορες/ με τελεστές καταστροφής κ δημιουργίας ηλεκτρονίων (φερμιονίων)  
 $\hat{H}_{ΔΣ}$

- \* Σχέσεις μεταθέσεως μποζονίων commutation relations
- \* Σχέσεις αντιμεταθέσεως φερμιονίων anticommutation relations

ΜΕΤΑΘΕΤΗΣ [A, B] = AB - BA όταν [A, B] = 0 ⇒ AB = BA  
COMMUTATOR ΜΕΤΑΘΕΤΙΚΗ ΙΔΙΟΤΗΤΑ commutative property

ΑΝΤΙΜΕΤΑΘΕΤΗΣ {A, B} = AB + BA όταν {A, B} = 0 ⇒ AB = -BA  
ANTI COMMUTATOR

ΑΝΤΙΜΕΤΑΘΕΤΙΚΗ ΙΔΙΟΤΗΤΑ

- \* Χαμιλτονιανή Αλληλεπίδρασης ΗΜ πεδίου - ΔΣ anticommulative property

- \* Χαμιλτονιανή Rabi

$\hat{U}_{Σ,μ}$   $\hat{H}_{ΑΕ,μ}$  (άτομική φυσική)

$$\hat{H}_{R,μ} = \underbrace{\hbar \omega_m \hat{a}_m^\dagger \hat{a}_m}_{\text{ΗΜ πεδίο}} + \underbrace{\hbar \Omega \hat{S}_+ \hat{S}_-}_{\Delta \Sigma} + \hbar g_m (\hat{S}_+ + \hat{S}_-) (\hat{a}_m^\dagger + \hat{a}_m)_{\text{ΗΜ πεδίο - ΔΣ}}$$

Ιδιοκαταστάσεις  $|\uparrow, n_m\rangle$   
χωρίς αλληλεπίδραση ΗΜ πεδίου  $|\downarrow, n_m\rangle$   
- ΔΣ

- \* Χαμιλτονιανή Jaynes-Cummings

$$\hat{H}_{J,μ} = \hbar \omega_m \hat{a}_m^\dagger \hat{a}_m + \hbar \Omega \hat{S}_+ \hat{S}_- + \hbar g_m (\hat{S}_+ \hat{a}_m + \hat{S}_- \hat{a}_m^\dagger)$$

- \* Μέσες (διαμενόμενες) τιμές μεγεθών για την  $\hat{H}_{J,μ}$   $\langle \hat{a}_m^\dagger \hat{a}_m \rangle$ ,  $\langle \hat{S}_+ \hat{S}_- \rangle$   
 $\langle \hat{S}_+ \hat{a}_m \rangle$ ,  $\langle \hat{S}_- \hat{a}_m^\dagger \rangle$

- \* Απορρόφηση φωτονίου
  - \* Έκποση φωτονίου
- ταλαντώσεις

# φωτονίων στην κοιλότητα  
# ηλεκτρονίων στην άνω στάθμη

ΜΠΟΖΟΝΙΑ

$\hat{a}_m^\dagger$  ← σπαθί (dagger)  
 Τελεστής δημιουργίας φωτονίου τῆς ΗΜ τῆρου με συχνότητα  $\omega_m$   
**creation operator**  
 $\hat{a}_m$  Τελεστής καταστροφῆς φωτονίου  
**annihilation operator**

κυκλική

>>

Ταυτοχρόνως, ὁ  $\hat{a}_m^\dagger$  μπορεί να ὀνομαστῆτε τελεστής ἀναβιβέστας  
**raising operator**  
 διότι ἀνοβιβάζει τὴν ἐνέργεια κατὰ  $\hbar\omega_m$

ὁ  $\hat{a}_m$  μπορεί να ὀνομαστῆτε τελεστής καταβιβέστας  
**lowering operator**  
 διότι καταβιβάζει τὴν ἐνέργεια κατὰ  $\hbar\omega_m$

$\hat{a}_m^\dagger, \hat{a}_m$  Τελεστῆς κλιμακῆς **ladder operators**

Οἱ  $\hat{a}_m^\dagger, \hat{a}_m$  ἀκολουθοῦν σχέσει μεταθέστας γινόμενων  $[, ]$

ΦΕΡΜΙΟΝΙΑ

$\hat{S}_+$  Τελεστῆς ἀναβιβέστας ἡλεκτρονίου  $\hat{S}_+ | \circ \rangle = | \circ \rangle$

$\hat{S}_-$  Τελεστῆς καταβιβέστας ἡλεκτρονίου  $\hat{S}_- | \circ \rangle = | \circ \rangle$

Ταυτοχρόνως, ὁ  $\hat{S}_+$  δα μπορούσε να ὀνομαστῆτε τελεστῆς δημιουργίας ἡλεκτρονίου  
 στὴν ἄνω στάθμη ΚΑΙ καταστροφῆς ἡλεκτρονίου στὴν κάτω  
 στάθμη

ὁ  $\hat{S}_-$  δα μπορούσε να ὀνομαστῆτε τελεστῆς καταστροφῆς ἡλεκτρονίου  
 στὴν ἄνω στάθμη ΚΑΙ δημιουργίας ἡλεκτρονίου στὴν κάτω στάθμη

οἱ  $\hat{S}_+, \hat{S}_-$  ἀκολουθοῦν σχέσει ἀντιμεταθέστας φερμιονίων  $\{, \}$

ἐναλλακτικὸς  
συμβολισμὸς

$\hat{d}_i^\dagger, \hat{d}_i$

ΣΧΕΣΕΙΣ ΜΕΤΑΘΕΣΕΩΣ ΜΠΟΖΟΝΙΩΝ  
boson commutation relations

$$[\hat{a}_m, \hat{a}_l] = 0$$

$$[\hat{a}_m^+, \hat{a}_l^+] = 0$$

$$[\hat{a}_m, \hat{a}_m^+] = 1$$

ΣΧΕΣΕΙΣ ΑΝΤΙΜΕΤΑΘΕΣΕΩΣ ΦΕΡΜΙΟΝΙΩΝ  
fermion anti commutation relations

$$\{\hat{a}_i, \hat{a}_j^+\} = \delta_{ij}$$

$$\{\hat{a}_i, \hat{a}_j\} = 0$$

$$\{\hat{a}_i^+, \hat{a}_j^+\} = 0$$

# ΚΕΦ.5 LASERS

Laser He-Ne

Εξισώσεις ρυθμών για τους πληθυσμούς των σταθμών που συμμετέχουν στην έκποση συνεκτικής ΗΜ ακτινοβολίας και για την πυκνότητα ακτινοβολίας  $\rho$  εγγύς κολόνας LASER

$\frac{dN_1}{dt}, \frac{dN_2}{dt}, \frac{d\rho}{dt}$

Διαγώνιες και Έγκάρσιες τρόποι ΗΜ πεδίου

Πληθυσμοί σταθμών και πυκνότητα ΗΜ ακτινοβολίας στη στάση κατάστασης.

"Αντίστροφα. Κρίσιμη "Αντίστροφα.

↓  
Τι είναι

Αναστροφή πληθυσμού.

Δραματική επίλυση των εξισώσεων ρυθμών για τα  $N_1, N_2, \rho$ .

matlab

Άλλα είδη LASER...

# ΚΕΦ.6 Πίνακας Πυκνότητας

Καθαρή κατάσταση και μικτή κατάσταση

το σύστημα περιγράφεται από μια κυματοσυνάρτηση

δεν υπάρχει μια καλά ορισμένη κυματοσυνάρτηση για το σύστημα

π.χ. το σύστημα είναι συζευγμένο με μια δεξαμενή με την οποία μπορεί να απορροφήσει θερμότητα, σωματίδια κλπ

Πίνακας Πυκνότητας - Τελεινή πυκνότητα

$$\hat{\rho} = |\Psi\rangle \langle \Psi| \quad |\Psi\rangle = \begin{bmatrix} c_1(t) \\ c_2(t) \\ \vdots \\ c_n(t) \end{bmatrix} \quad |\Psi\rangle = \sum_k c_k(t) |\Phi_k\rangle$$



π.χ. Πίνακας πυκνότητας ή τελεστικής πυκνότητας  
 σε καθαρή κατάσταση  
 διαταθμικού συστήματος

$$\rho = \begin{bmatrix} c_1 c_1^* & c_1 c_2^* \\ c_2 c_1^* & c_2 c_2^* \end{bmatrix}$$

Η χρονική εξέλιξη του πίνακα πυκνότητας: εξ. Liouville - von Neumann

$$i\hbar \frac{\partial \hat{\rho}}{\partial t} = [\hat{H}, \hat{\rho}] \quad \hat{H} = \hat{H}_0 + U_E(\vec{r}, t)$$

Η χρονική εξέλιξη του πίνακα πυκνότητας με μηχανισμό αποδιεγέρσεως

$$i\hbar \frac{\partial \hat{\rho}}{\partial t} = [\hat{H}, \hat{\rho}] - \frac{i\hbar}{2} \{ \hat{\Gamma}, \hat{\rho} \}$$

$$\hat{\Gamma} |\Phi_k\rangle = \gamma_k |\Phi_k\rangle$$

$$\hat{H} = \hat{H}_0 + U_E(\vec{r}, t) - \frac{i\hbar}{2} \hat{\Gamma}$$

## ΚΕΦ. 7 ΔΙΑΦΟΡΑ

Τεχνικές απομονώσεως TEM<sub>00</sub> & TEM<sub>p'q'</sub> άνωτέρων τάξεων

Εξισώσεις Fresnel, Γωνία Brewster (ή γωνία γλαυκῆς εἰς ἡμετέραν γλῶσσαν)  $\Delta$  ἀνακλῶμεν p <sup>πόλωση</sup>

Διακρίνειρα πόλωσης s, p t, r ...

$$T + R = 1$$

↓ διαδυσκολία  
 ↘ ἀνακλαστικότητα

ΑΣΚΗΣΕΙΣ ΣΤΟ ΤΕΛΟΣ ΚΑΘΕ ΚΕΦΑΛΑΙΟΥ  
ΠΡΟΣ ΛΥΣΗ

→ Έως +1 βαθμό

→ Έναρξη με το γράμμα

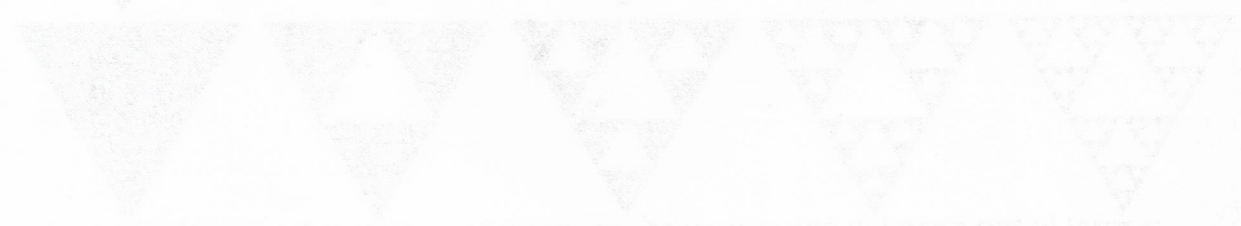
ΕΙ ΤΟΥΣ ΧΡΕΙΣΤΟΥΣ

Πόροι-ες από 3ο Έτος

Πόροι-ες αριθμητικές

Πόροι-ες είναι από την κατεύθυνση

A  
B  
Γ  
Δ  
Ε



Οι διάφορες στατιστικές που αναφέρονται παρακάτω θα αναλυθούν στο μαθήμα της Στατιστικής Φυσικής.

με θερμοδυναμικούς έργους  $\delta Q = dU + \delta W$   
 $\delta W = p dV - \sum_i \mu_i dN_i$

κατάσταση  $i$  με ενέργεια  $E_i$   $N = \delta$  αριθμός των σωματιδίων  $\beta := \frac{1}{k_B T}$

$\bar{n}_i = \delta$  μέσος αριθμός σωματιδίων στην κατάσταση  $i$  με ενέργεια  $E_i$   $\mu = \chiημικό$   
 $\text{δυναμικό}$

Ένωται  $\#i \gg N$

• Η στατιστική Maxwell-Boltzmann (MB) αφορά κλασικά σωματίδια, για τα οποία θεωρούμε πως δεν υπάρχουν κρατιζόμενα ενεργειακά επίπεδα, π.χ. οι δομικοί λίκτοι του κλασικού ιδανικού αερίου.

$$\bar{n}_i = \frac{1}{e^{\beta(E_i - \mu)}} = e^{-\beta E_i} e^{\beta \mu} \quad (MB)$$
  
Επειδή  $\sum_i \bar{n}_i = N \Rightarrow \sum_i e^{-\beta E_i} e^{\beta \mu} = N \Rightarrow e^{\beta \mu} = \frac{N}{\sum_i e^{-\beta E_i}}$   
$$\bar{n}_i = \frac{N e^{-\beta E_i}}{\sum_i e^{-\beta E_i}}$$
  
N ή σχέση αυτή καθορίζεται

• Η στατιστική Fermi-Dirac (FD) αφορά κραντικά σωματίδια, τα οποία υπακούουν στην απαγορευτική αρχή Pauli ότι μόνο ένα σωματίδιο μπορεί να καταλάβει μια κραντική κατάσταση. **ΑΚΑΤΑΔΕΚΤΑ ΣΝΟΜΠ**  
Τα σωματίδια αυτά λέγονται φερμιόνια (fermions) και έχουν ιδιοστροφομή (σπιν)  $s$  ημιφυσικό («ήμισκέρατο») πολλαπλάσιο ( $1/2, 3/2, 5/2, \dots$ ) της ποσότητας  $\hbar$ .  
Τέτοια είναι π.χ. τα ηλεκτρόνια, πρωτόνια, νετρόνια.  
Για τη στατιστική FD ισχύει:

$$\bar{n}_i = \frac{1}{e^{\beta(E_i - \mu)} + 1} \quad (FD)$$

• Η στατιστική Bose-Einstein (BE) αφορά κραντικά σωματίδια, με την ιδιότητα ότι μια κραντική κατάσταση μπορεί να καταλαμβάνεται από οποιαδήποτε σωματίδια. **ΚΑΤΑΔΕΚΤΙΚΑ ΚΑΛΟΒΟΛΑ**  
Τα σωματίδια αυτά λέγονται μποζόνια (bosons) και έχουν ιδιοστροφομή (σπιν)  $s$  φυσικό («άκερατο») πολλαπλάσιο ( $0, 1, 2, \dots$ ) της ποσότητας  $\hbar$ .  
Τέτοια είναι π.χ. τα φωτόνια, τα άτομα  $^4\text{He}$ , οι πυρήνες των ετώνων  $^4\text{He}$ .  
Για τη στατιστική BE ισχύει:

$$\bar{n}_i = \frac{1}{e^{\beta(E_i - \mu)} - 1} \quad (BE)$$

Σε σύστημα FD ή BE με σταθερό  $N$ , η σχέση  $\sum_i \bar{n}_i = N$  καθορίζει το  $\mu$ .

Συνοπτικώς, λοιπόν, μπορούμε να γράψουμε

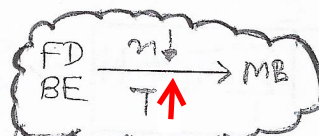
$$\bar{n}_i = \frac{1}{e^{\beta(E_i - \mu)} \pm 1}$$

FD
BE
MB

και η σχέση

$$\sum_i \bar{n}_i = N \text{ καθορίζει το } \mu$$

• Οι στατιστικές FD και BE συγκλίνουν στη στατιστική MB:



• όταν η συγκέντρωση των σωματιδίων  $n$  είναι μικρή σε σχέση με τη λεγόμενη κρυσταλλική συγκέντρωση

$$n < n_Q \quad n_Q = \left( \frac{m k_B T}{2\pi \hbar^2} \right)^{3/2}$$

σε θερμοκρασία δωματίου ( $T = 300\text{K}$ ), για τα πρωτόνια  $n_Q \approx 1000 \text{ nm}^{-3}$ , ενώ για τα ηλεκτρόνια  $n_Q \approx 0.015 \text{ nm}^{-3}$ .

• σε υψηλές θερμοκρασίες

Διότι:

• όριο χαμηλής συγκέντρωσης  $\Rightarrow N$  πολύ μικρό  $\Rightarrow \bar{n}_i \ll 1, \forall i \Rightarrow$

$$e^{\beta(E_i - \mu)} \gg 1, \forall i$$

• όριο υψηλής θερμοκρασίας  $\Rightarrow \beta = \frac{1}{k_B T}$  μικρό

$\Downarrow$

πολλές στάθμες υψηλής ενέργειας (και  $E_i > \mu$ ) είναι κατειλημμένες

δηλαδή η κατανομή απλώνει ενεργειακά με μικρές πιθανότητες καταλήψεως  $\Rightarrow$

$$\bar{n}_i \ll 1, \forall i \Rightarrow$$

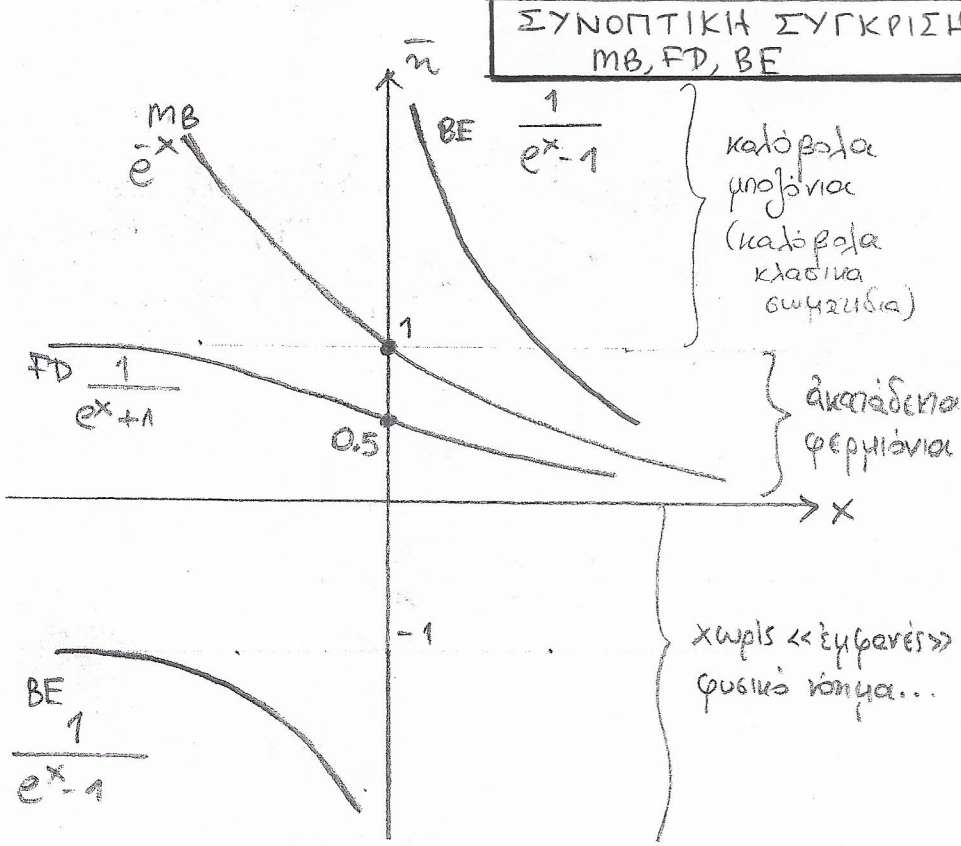
$$e^{\beta(E_i - \mu)} \gg 1, \forall i$$

Στις περιπτώσεις αυτές

$$\bar{n}_i = \frac{1}{e^{\beta(E_i - \mu)} \pm 1} \approx \frac{1}{e^{\beta(E_i - \mu)}}$$

δηλαδή οι FD ή BE συγκλίνουν στη MB.

**ΣΥΝΟΠΤΙΚΗ ΣΥΓΚΡΙΣΗ**  
MB, FD, BE

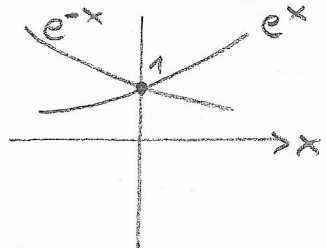


$$\bar{n}_i = \frac{1}{e^{\beta(E_i - \mu)} \pm 1} \begin{matrix} \text{FD} \\ \text{BE} \\ \text{MB} \end{matrix}$$

$$\bar{n} = \frac{1}{e^{\beta(E - \mu)} \pm 1}$$

$$x := \beta(E - \mu)$$

$$\bar{n} = \frac{1}{e^x \pm 1}$$



MB  $\bar{n} = \frac{1}{e^x} = e^{-x} > 0, \forall x$

$\lim_{x \rightarrow +\infty} e^{-x} = 0$

$\lim_{x \rightarrow -\infty} e^{-x} = +\infty$

FD  $\bar{n} = \frac{1}{e^x + 1} > 0, \forall x$

$\lim_{x \rightarrow +\infty} \frac{1}{e^x + 1} = 0$

$\lim_{x \rightarrow -\infty} \frac{1}{e^x + 1} = 1$

BE  $\bar{n} = \frac{1}{e^x - 1}$

$x > 0 \Rightarrow e^x > 1 \Rightarrow e^x - 1 > 0 \Rightarrow \bar{n} > 0$

$\lim_{x \rightarrow 0^+} \frac{1}{e^x - 1} = +\infty$

$\lim_{x \rightarrow +\infty} \frac{1}{e^x - 1} = 0$

$x < 0 \Rightarrow e^x < 1 \Rightarrow e^x - 1 < 0 \Rightarrow \bar{n} < 0 !$

$\lim_{x \rightarrow 0^-} \frac{1}{e^x - 1} = -\infty$

$\lim_{x \rightarrow -\infty} \frac{1}{e^x - 1} = -1$

χωρίς «έμφανείς» φυσικό νόημα...

$$n_Q = \left( \frac{m k_B T}{2\pi \hbar^2} \right)^{3/2}$$

κβαντική  
συγκέντρωση

$$\left( \frac{\text{kg} \cdot \text{s}^2}{\text{kg} \cdot \text{m} \cdot \text{s}^2 \cdot \text{m}} \right)^{3/2} = \frac{1}{\text{m}^3}$$

• πρωτόνια  $m \approx 1.67 \cdot 10^{-27} \text{ kg}$  σε  $T = 300 \text{ K}$

$$n_Q \approx \left( \frac{1.67 \cdot 10^{-27} \text{ kg} \cdot 1.38 \cdot 10^{-23} \text{ J} \cdot 300 \text{ K}}{2\pi \cdot 1 \cdot 10^{-68} \text{ J}^2 \text{ s}^2} \right)^{3/2} \approx 1154 \cdot (10^{18})^{3/2} \frac{1}{\text{m}^3} \approx 10^3 \cdot 10^{27} \frac{1}{\text{m}^3} = 10^{30} \frac{1}{\text{m}^3}$$

$$n_Q \approx 10^{30} \frac{1}{\text{m}^3} = 10^{30} \frac{1}{10^{30} \text{ \AA}^3} = 10^{30} \frac{1}{10^{27} \text{ nm}^3} = 1 \frac{1}{\text{ \AA}^3} = 1000 \frac{1}{\text{ nm}^3} = 10^{30} \frac{1}{10^6 \text{ cm}^3} = 10^{24} \frac{1}{\text{ cm}^3}$$

• ηλεκτρόνια  $m \approx 9.1 \cdot 10^{-31} \text{ kg}$  σε  $T = 300 \text{ K}$

$$n_Q \approx \left( \frac{9.1 \cdot 10^{-31} \text{ kg} \cdot 1.38 \cdot 10^{-23} \text{ J} \cdot 300 \text{ K}}{2\pi \cdot 1 \cdot 10^{-68} \text{ J}^2 \text{ s}^2} \right)^{3/2} \approx 14682 \cdot (10^{14})^{3/2} \frac{1}{\text{m}^3} \approx 15 \cdot 10^3 \cdot 10^{21} \frac{1}{\text{m}^3}$$

$$n_Q \approx 15 \cdot 10^{24} \frac{1}{\text{m}^3} = 15 \cdot 10^{24} \frac{1}{10^{30} \text{ \AA}^3} = 15 \cdot 10^{24} \frac{1}{10^{27} \text{ nm}^3} = 15 \cdot 10^{-6} \frac{1}{\text{ \AA}^3} = 15 \cdot 10^{-3} \frac{1}{\text{ nm}^3} = 15 \cdot 10^{24} \frac{1}{10^6 \text{ cm}^3} = 15 \cdot 10^{18} \frac{1}{\text{ cm}^3}$$

Συνοψίζοντας: πρωτόνια σε 300 K  $n_Q \approx 10^{30} \frac{1}{\text{m}^3} = 10^{24} \frac{1}{\text{ cm}^3} = 10^3 \frac{1}{\text{ nm}^3} = 1 \frac{1}{\text{ \AA}^3}$

ηλεκτρόνια σε 300 K  $n_Q \approx 15 \cdot 10^{24} \frac{1}{\text{m}^3} = 15 \cdot 10^{18} \frac{1}{\text{ cm}^3} = 15 \cdot 10^{-3} \frac{1}{\text{ nm}^3} = 15 \cdot 10^{-6} \frac{1}{\text{ \AA}^3}$

Cu πυκνότητα  $\rho \approx 9 \frac{\text{g}}{\text{ cm}^3} = 9000 \frac{\text{ kg}}{\text{ m}^3}$   $AB = 63.5$

σε 63.5 g έχουμε  $6.022 \cdot 10^{23}$  άτομα

$$9 \text{ g} \cdot \frac{6.022 \cdot 10^{23} \text{ \AA} \text{ \AA} \text{ \AA}}{63.5} \longrightarrow 1 \text{ cm}^3$$

Κάθε άτομο Cu έχει 1 «ελεύθερο» ηλεκτρόνιο

$$n_{\text{ηλεκτρ}} \approx \frac{9}{63.5} \cdot 6.022 \cdot 10^{23} \frac{1}{\text{ cm}^3} \approx 0.85 \cdot 10^{23} \frac{1}{\text{ cm}^3} \gg 15 \cdot 10^{18} \frac{1}{\text{ cm}^3} = n_Q$$

Άρα τα ηλεκτρόνια του Cu δεν μπορούν να περιγραφούν κλασικά.

ΜΠΟΣΩΝΙΑ

ΦΕΡΜΙΩΝΙΑ

- φωτόνιο  $\gamma$
- γκλουόνιο  $g$
- μυόνια  $W^+, W^-, Z^0$
- βαρυόνια  $G$
- μυόνιο Higgs  $H$

Αδρόνια

- |                    |               |
|--------------------|---------------|
| μεσόνια            | βαρυόνια      |
| π.χ. $\pi$ μεσόνιο | π.χ. πρωτόνιο |
| $K$ μεσόνιο        | νετρόνιο      |
| ...                | ...           |
- ~~~~~  
 φτιάχνονται από κουάρκς

- λεπτόνια  
( $e, \mu, \tau, \nu_e, \nu_\mu, \nu_\tau$ )
- κουάρκς  
( $u, d, c, s, t, b$ )

ΘΕΜΑ ΣΤΙΣ  
ΕΞΕΤΑΣΕΙΣ

τα μπόζονια μετατίθενται

τα φερμιόνια αντιμετατίθενται

$[A, B] = AB - BA$  ΜΕΤΑΘΕΤΗΣ  
commutator

$\{A, B\} = AB + BA$  ΑΝΤΙΜΕΤΑΘΕΤΗΣ  
anticommutator

εάν  $[A, B] = 0 \Rightarrow AB = BA$   
 μεταθετική ιδιότητα  
 commutative property

εάν  $\{A, B\} = 0 \Rightarrow AB = -BA$   
 αντιμεταθετική ιδιότητα  
 anticommutative property

οι τελεστές, οι οποίοι περιγράφουν  
 καταστροφή και δημιουργία μυόνιων  
 ακολουθούν σχέσεις μεταθέσεως

οι τελεστές, οι οποίοι περιγράφουν  
 καταστροφή και δημιουργία φερμιόνιων  
 ακολουθούν σχέσεις αντιμεθέσεως